

## Ֆիզիկա

УДК 621.315.594

Վ. Մ. ԱՌԱՋԵԼՅԱՆ, Վ. Է. ԳԱԼՍՏՅԱՆ

### Fe<sub>2</sub>O<sub>3</sub>-Nb<sub>2</sub>O<sub>5</sub> ՊԻՆԴ ԼՈՒԾՈՒՅԹՆԵՐԻ ՍՏԱՑՈՒՄԸ ԵՎ ՆՐԱՆՑ ԷԼԵԿՏՐԱՖԻԶԻԿԱԿԱՆ ՈՒ ՖՈՏՈԷԼԵԿՏՐԱՓԻՍԻԱԿԱՆ ՀԱՏԿՈՒԹՅՈՒՆՆԵՐԻ ՈՒՍՈՒՄՆԱՍԻՐՈՒՄԸ

**Ներածություն:** 1970-ական թվականների կեսերից սկսված կիսահաղորդային էլեկտրաքիմիայի բուն զարգացումը առաջին հերթին պայմանավորված էր արեգակնային էներգիայի փոխակերպիչների մշակման հետ: Էներգետիկ ճգնաժամի թեժ պահին մեծ հետաքրքրություն առաջացրեց թ-ո անցում չպահանջող, էժան էլեկտրամիկական կիսահաղորդիչների հիման վրա արեգակնային էներգիայի ֆոտոէլեկտրաքիմիական փոխակերպիչներ ստեղծելու հնարավորությունը: Ֆոտոէլեկտրաքիմիական եղանակով արեգակնային էներգիայի փոխակերպիչների արդյունավետությունը հիմնականում պայմանավորված է նրանցում որպես կատալիզատոր օգտագործվող կիսահաղորդային նյութերի էլեկտրաֆիզիկական և ֆոտոէլեկտրաքիմիական հատկություններով: Ջրի սպոնտան տարրալուծման համար ջրածնային և թթվածնային ռեակցիաների էներգետիկ մակարդակները պետք է ընկած լինեն կիսահաղորդիչ հաղորդականության և վալենտական գոտիների եզրերի միջև: Կիսահաղորդչի արգելված գոտու ~24 լայնությունը բույլ է տալիս իրականացնել ֆոտոտարրալուծման ինտենսիվ ռեակցիա և բավական լավ օգտագործել սպեկտրի տեսանելի տիրույթը: Ֆոտոէլեկտրաքիմիայի նկատմամբ կայուն օրսիդային կիսահաղորդիչներում գտնված է զծային կապ արգելված գոտու լայնության և հարթ գոտու պոտենցիալի միջև, ըստ որի արգելված գոտու փորք լայնությանը համապատասխանում է հարթ գոտու ավելի դրական պոտենցիալ: Այդ պատճառով էլ միայն լայն արգելված գոտինով կիսահաղորդիչներն են օժտված այնպիսի հարթ գոտիներով, որի պոտենցիալը բավարար է ջրից ջրածին անջատելու համար առանց արտաքին էներգիայի կիրառման: Սակայն դրանք էլ զգայուն են միայն սպեկտրի ուլտրամանուշակագույն տիրույթի նկատմամբ և կարող են կլանել արեգակնային էներգիայի միայն 2-3%: Համեմատարար նեղ արգելված գոտինով կիսահաղորդիչի օգտագործման դեպքում անխուսափելիորեն պետք է կիրառվի արտաքին լարում [1]: Արդյունավետ ֆոտոէլեկտրոլիզի համար անհրաժեշտ է, որպեսզի կիսահաղորդային անող-կատալիզատորը օժտված լինի այնպիսի պարամետրերի օպտիմալ համադրությամբ, ինչպիսիք են արգելված գոտու լայնությունը, հարթ գոտու

պոտենցիալը, կայունությունը էլեկտրոլիտների ջրային լուծույթներում, քարձր քվանտային ելքը և այլն: Ֆոտոէլեկտրաքիմիական եղանակով արեգակնային էներգիայի փոխակերպման ներկայիս փոքր արդյունավետության հիմնական պատճառն այն է, որ էլեկտրոլիտների ջրային լուծույթներում կայուն, հայտնի օքսիդային կիսահաղորդիչներից ոչ մեկը օժտված չէ նշված պարամետրերի ողջ համախմբով [2, 3]: Ֆոտոէլեկտրոլիզի պյոցեսի օգտակար գործողության գործակցի բարձրացման առավել հեռանկարային ուղիներից մեկը կիսահաղորդչային այնպիսի միացությունների սինթեզումն ու ուսումնասիրումն է, որոնցում կիրականացվի մի քանի կամ գոնե երկու օպտիկալ պարամետրերի համադրում:

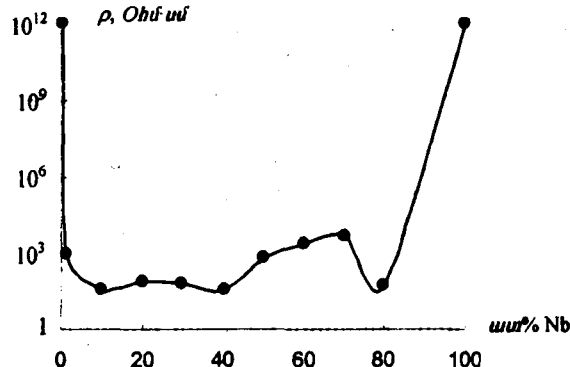
Այս աշխատանքում փորձ է արվում  $\text{Fe}_2\text{O}_3-\text{Nb}_2\text{O}_5$  համակարգում սինթեզել այնպիսի կիսահաղորդչային միացություն, որում համատեղվեն յուրաքանչյուր նյութի լավագույն հատկությունները. ջրի սպոնտան ֆոտոէլեկտրոլիզի համար  $\text{Nb}_2\text{O}_5$ -ի ֆոտոէլեկտրոլիտների հարք գոտու պոտենցիալի բավարար բացասականությունը և արևի էներգիայի բավարար կյանումը ( $\sim 30\%$ ) համեմատաբար նեղ արգելված գոտիով  $\text{Fe}_2\text{O}_3$ -ի կողմից:

**Փորձարարական մաս:**  $\text{Fe}_2\text{O}_3-\text{Nb}_2\text{O}_5$  համակարգի նմուշների ստացման համար երանյութերը ( $\text{Fe}_2\text{O}_3$ -ի և  $\text{Nb}_2\text{O}_5$ -ի փոշիները) նախապես ջրազրկվել են  $300^{\circ}\text{C}$ -ում 3 ժամվա ներացրում: Այնուհետև համապատասխան քաղաքանական կշռվել են և մինյանց հետ խառնվելուց հետո մամլվել են ու քրծվել որում  $1250^{\circ}\text{C}$  ջերմաստիճանում: Ստացված նմուշները կտրվել են 1 մմ հաստությամբ հաբերի, որոնց վրա մեխանիկական ու քիմիական մշակումից հետո վակուումային փոշեցրման եղանակով նատեցվել են պղմճե օհմական կոնտակտներ: Ֆոտոէլեկտրական շափումների համար նախատեսված նմուշներին գողվել են ելքային լարեր և կոնտակտային մասը ծածկվել է պոլիմերային սոսնձով: Ուսումնասիրվել են նմուշների տեսակարար դիմադրության կախումը նիոբիումի պարունակությունից և հաղորդականության կախումը ջերմաստիճանից: Ֆոտոէլեկտրաքիմիական պարամետրերի շափումները կատարվել են հետերզեն քջուում, որի անողային բաժանմունքը պարունակում է  $5N$   $\text{NaOH}$  լուծույթ, իսկ կատողային բաժանմունքը՝  $5N$   $\text{H}_2\text{SO}_4$ -ի լուծույթ: Կիսահաղորդչային ֆոտոանորդ տեղադրվում է անորային բաժանմունքում, որը ունի կվարցե պատուհան, իսկ պլատինե հակաէլեկտրոդը՝ կատողային բաժանմունքում: Ֆոտոանորդ լուսավորվել է  $200 \text{ V}_{\text{dc}}$  հզորությամբ սնդիկային լամպի լույսով և շափվել է ֆոտոէլեկտրոլիզի հոսանքի կախումը  $\text{Nb}$ -ի պարունակությունից: Նմուշների սպեկտրալ բնութագծերը ստացվել են բջիջը  $1000 \text{ V}_{\text{dc}}$  հզորությամբ բանանային բարձր ճնշման լամպով լուսավորելով:

**Ստացված արդյունքների քննարկումը:** Սենյակային ջերմաստիճանում երկարի օքսիդը ( $\text{Fe}_2\text{O}_3$ )  $\sim 10^{12} \text{ Ohm}^{-1} \text{ A}^{-1}$  տեսակարար դիմադրությամբ նեկուսիչ է: Հնգավալենտ նիոբիումի իոնների ներմուծումը հանգեցնում է  $\text{Fe}_2\text{O}_3$ -ի փոխակերպմանը ո-տիպի կիսահաղորդչի: Դա պայմանավորված է  $\text{Fe}^{3+}$  իոնների մի մասի անցումով երկվալենտ վիճակի: Նիոբիումի հնգավալենտ իոնների մակարդակները տեղաբաշխված են մաքուր  $\text{Fe}_2\text{O}_3$ -ում չգրադեցված  $\text{Fe}^{+2}$  մակարդակներից վերև, այսինքն, լեզիրացնող տարրով տեղակալումը և պինդ լուծույթի ձևավորումը ընթանում է ըստ  $\text{Fe}_{2-3x}^{+3} \text{Nb}_x^{+5} \text{Fe}_{2x}^{+2} \text{O}_{3-2}$  բանածկի [4]: Ցանցի համարժեք հանգույցներում նույն տարրի տարբեր վալենտականությամբ իոնների առկայությունը հանգեցնում է հաղորդականության բոլշա-

յին մեխանիզմի՝ պայմանավորված ջերմային գրգռման միջոցով իոնների միջև էլեկտրոնների փոխանակմամբ:  $\text{Fe}_2\text{O}_3$ -ի հիման վրա պատրաստված նմուշների տեսակարար դիմադրության կախումը նրանցում նիորիումի պարունակությունից բերված է նկ. 1-ում: Ինչպես երևում է նկարից, արդեն 1 ատ%

նիորիումի առկայությունը հանգեցնում է տեսակարար դիմադրության կտրուկ նվազմանը մոտ 9 կարգով ( $\sim 10^3 \text{ Ohm}^{-1}$ ):



Նկ. 1: Նմուշների տեսակարար դիմադրության կախումը նիորիումի պարունակությունից:

ցենտրացիաների դեպքում կտրուկ աճում է, իսկ մաքուր  $\text{Nb}_2\text{O}_5$ -ը արդեն մեկուսիչ է:

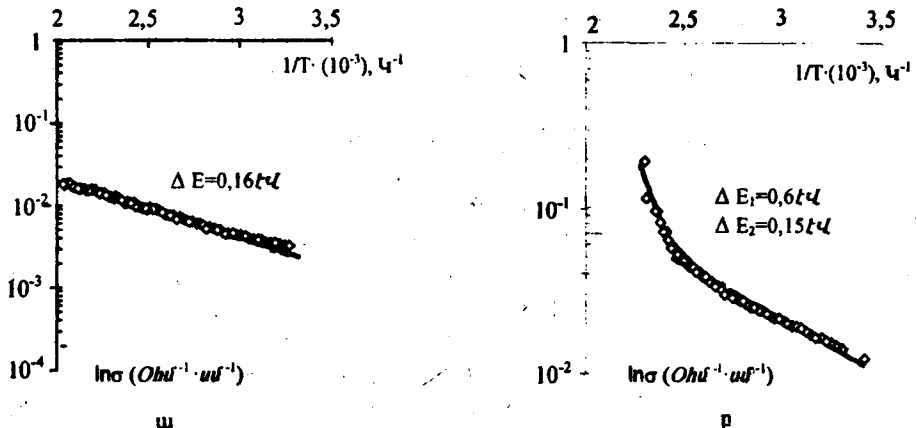
Լեզիրացման սկզբնական փուլում  $\text{Nb}$ -ի կոնցենտրացիայից տեսակարար դիմադրության այդպիսի խիստ կախվածությունը քննորոշ է հաղորդականության բոլիչքային մեխանիզմին և պայմանավորված է նրանով, որ էլեկտրոնի մի իոնից մյուսը բոլիչքի հավանականությունը խիստ կախված է երկվալենտ և եռավալենտ կատիոնների միջև եղած հեռավորությունից: Լեզիրացնող տարրի պարունակության մեծացմանը զուգընթաց աճում է հաղորդականության մեջ ներդրում ունեցող երկարի երկ- և եռավալենտ իոնների թիվը, միաժամանակ մեծանում է նաև բոլիչքների հավանականությունը այդ իոնների միջև պոտենցիալ արգելքի փորրացման պատճառով: Ինչպես ցույց են տվել ունտգենաֆազային հետազոտությունները, նիորիումի արդեն 5 ատ%-ից բարձր պարունակությունների դեպքում սկսում են ձևափորվել նոր ֆազեր, որոնք նույնականացնել առայժմ չի հաջողվել: Միայն 50 ատ%  $\text{Nb}_2\text{O}_5$ -ի դեպքում ձևափորվում է մաքուր  $\text{FeNbO}_4$  նոր ֆազ, որը ինչպես ցույց կտրվի ստորև, օժտված է ավելի լավ ֆոտոկատալիտիկ հատկություններով, քան լեզիրացված  $\text{Fe}_2\text{O}_3$ -ը:

Պարզելու համար, թե ինչպիսի ենթամակարդակներ են ծագում  $\text{Fe}_2\text{O}_3$ -ի արգելված գոտում, հետազոտվել է նմուշների տեսակարար հաղորդականության կախումը ջերմաստիճանից (նկ. 2): Լուս-ի կախումը  $1/T$ -ից ուղղի գիծ է, որի բերությամբ է որոշվում է ենթամակարդակների իոնացման էներգիան, այսինքն՝ նրանց տեղաբաշխումը արգելված գոտում: Այդ հետազոտությունների բնութագրական տեսքները բերված են նկ. 2, ա, բ-ում: Յուրաքանչյուր գրաֆիկի վրա բերված է իոնացման հաշվարկված էներգիան:  $\text{Fe}_2\text{O}_3$ -ի մեջ մինչև 1%  $\text{Nb}$ -ի պարունակության դեպքում  $\Delta E$ -ն մոտ 0,16  $\text{eV}$  կարգի է: Ինչպես արդեն նշվել է, երկարի օքսիդում իրականացվում է հաղորդականության բոլիչքային մեխանիզմ, որի դեպքում էլեկտրոնի մի իոնից ( $\text{Fe}^{+2}$ ) մյուսին

( $\text{Fe}^{+3}$ ) անցնելու համար անհրաժեշտ է որոշակի էներգիա: Այսինքն, կարելի է ասել, որ ակտիվացման էներգիան բաղկացած է երկու անդամներից՝

$$\Delta E = \Delta E_0 + \Delta E_1,$$

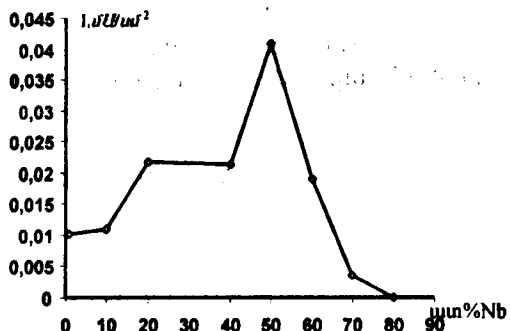
որոնցից մեկը ( $\Delta E_0$ ) որոշում է լիցքակիրների թիվը, իսկ մյուսը՝ ( $\Delta E_1$ ) լիցքակիրների շարժունակությունը: Ինչպես ցույց են տվել նախկինում կատարված հետազոտությունները, խառնուրդների փոքր կոնցենտրացիաների դեպքում շարժունակության ակտիվացման էներգիան  $\sim 0,16 \text{ eV}$  կարգի է [5]: Ավելի մեծ կոնցենտրացիաների դեպքում այն նվազում է և քննարկվող դեպքում, ըստ թերմուլցուի ջերմաստիճանային կախվածության հետազոտման արդյունքների, մոտ 0,15  $\text{eV}$  կարգի է: Այսինքն, կարելի է եզրակացնել, որ երկարի օրսիդում  $\text{Nb}-ի$  մինչև 1% պարունակության դեպքում արգելված գոտում ենթամակարդակներ չեն առաջանում և էլեկտրահաղորդականության ջերմաստիճանային կախվածության վարքը կարելի է բացատրել  $\text{Fe}^{+2}$  իոնների թվի ավելացմամբ, որն էլ իր հերթին հանգեցնում է հաղորդականության ակտիվացման էներգիայի նվազմանը: Խառնուրդի կոնցենտրացիայի մեծացման դեպքում  $\text{InS}-1/T$  կախվածության կորի վրա դիտվում են երկու թերություններ՝ համապատասխանաբար  $\sim 0,6$  և  $\sim 0,15 \text{ eV}$  ակտիվացման էներգիաներով:



Նկ. 2: Նմուշների տեսակարար հաղորդականության կախումը ջերմաստիճանից.  
ա)  $\text{Fe}_2\text{O}_3 + 1\% \text{Nb}$ , բ)  $\text{Fe}_2\text{O}_3 + 30\% \text{Nb}$ :

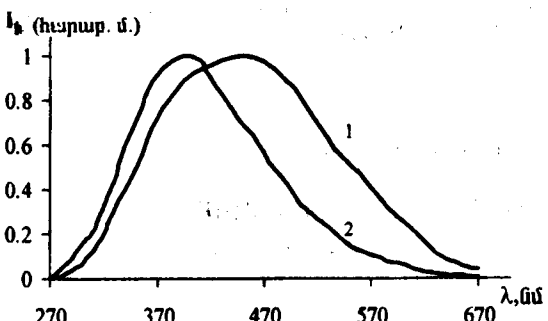
Ակնհայտ է, որ  $\sim 0,15 \text{ eV}$ -ը համապատասխանում է շարժունակության ակտիվացման էներգիային, իսկ  $\sim 0,6 \text{ eV}$ -ը պայմանավորված է  $\text{Fe}_2\text{O}_3$ -ի արգելված գոտում խառնուրդային մակարդակների առաջացմամբ: Երկարի և նիորիտայի հավասար քանակությունների դեպքում, ինչպես արդեն նշվել է, առաջանում է  $\text{FeNbO}_4$  նոր միացություն, որի էլեկտրաֆիզիկական և ֆոտոէլեկտրաքիմիական հատկությունների ուսումնասիրությունները շարունակվում են: Նիորինի ավելի մեծ քանակությունների դեպքում արդեն  $\text{Nb}_2\text{O}_5$ -ի ցանցն է զառնում քաղային, իսկ երկարի ատոմները դառնում են խառնուրդային ատոմներ: Այս դեպքում էլ երկարի պարունակության նվազմանը զուգընթաց ակտիվացման էներգիան աճում է: Այստեղ կարելի է ենթադրել, որ երկարի խառնուրդային ատոմները  $\text{Nb}_2\text{O}_5$ -ի մեջ կատարում են նոյն դերը, ինչ որ  $\text{Nb}-ի$  ատոմները  $\text{Fe}_2\text{O}_3$ -ի մեջ կատարում ակտիվացման էներգիայի աճը ամբողջովին բացատրելի է:  $\text{Fe}_2\text{O}_3-\text{Nb}_2\text{O}_5$  համագարգի պինդ լուծույթներում ամենաբարձր

լրացված գոտիները հանդիսանում են  $\text{FeO}_6$  բջիջների զբաղեցված ձ-մակարդակները, որոնք տեղաբաշխված են  $\text{O}^{2-}$ -ի 2P-ից ավելի բացասական մակարդակներում, իսկ դատարկ մակարդակներ են հանդիսանում և  $\text{FeO}_6$  բջիջների չզբաղեցված ձ-մակարդակները, և  $\text{NbO}_6$ -ի ձ-մակարդակները: Այսինքն, այս նմուշներում հնարավոր են օպտիկական անցումներ ինչպես երկարի իոնների մակարդակների միջև ( $\sim 2,2 \text{ eV}$ ), այնպես էլ երկարի իոնների և նիորիումի ձ-մակարդակների միջև ( $\sim 1,3 \text{ eV}$ ), որը զգալիորեն մեծացնում է կլանվող լուսային էներգիայի բաժինը: Ընդ որում, հարք գոտու պոտենցիալը, որն արդեն որոշվում է  $\text{Nb}_2\text{O}_5$ -ի հաղորդականության գոտու պոտենցիալով, պետք է



Նկ. 3: Ֆոտոհոսանքի խտության կախումը նմուշներում նիորիումի պարունակությունից:

դեպքում ֆոտոհոսանքը գործնականում ճգոտում է զրոյի, ապա  $\text{Nb}$ -ի պարունակության մեծացմանը զուգընթաց այն աճում է, հասնելով առավելագույն արժեքի  $\text{FeNbO}_4$  բաղադրության համար: Ֆոտոհոսանքի հետագա նվազումը պայմանավորված է նոր, տվյալ սպեկտրալ տիրույթում ոչ ֆոտոզայտն ֆազերի և  $\text{FeNbO}_4$  ֆազի հարաբերակցության փոփոխությամբ՝ հօգուտ առաջինների: Համակարգում  $\text{Fe}_2\text{O}_3$ -ի 30% փոքր պարունակությունների դեպքում  $\text{FeNbO}_4$ -ի սպեկտրալ գծեր արդեն չեն հայտնաբերվում, և այդ կոնցենտրացիաների դեպքում ֆոտոհոսանքը նորից հավասարվում է զրոյի: Ֆոտոելեկտրոդների սպեկտրալ բնութագրերի ուսումնասիրության արդյունքները երկու բնութագրական բաղադրությունների համար բերված են նկ. 4-ում:



Նկ. 4:  $\text{Fe}_2\text{O}_3 + 1\% \text{Nb}$  (1) և  $\text{FeNbO}_4$  (2) նմուշների սպեկտրալ բնութագրերը:

միևնույն արժեքի: Ինչպես երևում է նկարից, և լեզվագված  $\text{Fe}_2\text{O}_3$ -ի հիման վրա, և  $\text{FeNbO}_4$ -ի հիման վրա պատրաստված ֆոտոէլեկտրոդների սպեկտրալ ֆոտոզայտնության տիրույթները ներառում են արևի տեսանելի սպեկտրի զգալի մասը: Ֆոտոէլեկտրոդիցի հոսանքի սկիզբը համապատասխանում է  $\sim 670 \text{ nm}$  ալիքի երկարությանը: Նկ. 4-ից կարելի է ստանալ լեզվագված

շեղված լինի դեպի ավելի բացասական արժեքներ և ֆոտոէլեկտրաքիմիական բջին արտաքին աղբյուրից լրացուցիչ էներգիա հաղորդելու անհրաժեշտությունը կարող է վերանալ: Ուսումնասիրվել է ֆոտոէլեկտրոլիզի հոսանքի խտության կախվածությունը նմուշներում  $\text{Nb}$ -ի պարունակությունից: Արդյունքները բերված են նկ. 3-ում: Եթե  $\text{Nb}$ -ի փոքր կողենտրացիաների և արտաքին լարման բացակայության դեպքում է զրոյի, ապա  $\text{Nb}$ -ի պարունակության մեծացմանը զուգընթաց այն աճում է, հասնելով առավելագույն արժեքի  $\text{FeNbO}_4$  բաղադրության համար: Ֆոտոհոսանքի հետագա նվազումը պայմանավորված է նոր, տվյալ սպեկտրալ տիրույթում ոչ ֆոտոզայտն ֆազերի և  $\text{FeNbO}_4$  ֆազի հարաբերակցության փոփոխությամբ՝ հօգուտ առաջինների: Համակարգում  $\text{Fe}_2\text{O}_3$ -ի 30% փոքր պարունակությունների դեպքում  $\text{FeNbO}_4$ -ի սպեկտրալ գծեր արդեն չեն հայտնաբերվում, և այդ կոնցենտրացիաների դեպքում ֆոտոհոսանքը նորից հավասարվում է զրոյի: Ֆոտոելեկտրոդների սպեկտրալ բնութագրերի ուսումնասիրության արդյունքները երկու բնութագրական բաղադրությունների համար բերված են նկ. 4-ում:

Համեմատության հարմարության համար ֆոտոհոսանքի մաքսիմումները բերված են նկ. 4-ից: Համեմատության հարմարության համար ֆոտոհոսանքի հիման վրա պատրաստված ֆոտոէլեկտրոդների սպեկտրի զգալի մասը: Ֆոտոէլեկտրոդիցի հոսանքի սկիզբը համապատասխանում է  $\sim 670 \text{ nm}$  ալիքի երկարությանը: Նկ. 4-ից կարելի է ստանալ լեզվագված

նմուշների ֆոտոզգայունության մաքսիմումը՝ ~2,6էՎ և  $\text{FeNbO}_4$ -ինը՝ ~2,96էՎ։ Այսինքն, շնայած նրան, որ ստացված բաղադրություններում  $\text{Nb}$ -ի մեծ կոնցենտրացիաների դեպքում հարք գոտու պոտենցիալը զգալիորեն շեղվում է դեպի ավելի բացասական արժեքները, ֆոտոկանանան տիրույթի մաքսիմումի դեպի կարճ ալիքներ շեղման պատճառով ֆոտոէլեկտրոլիզի հոսանքի սպասված զգալի աճ չի դիտվում։ Այնուհանդերձ, արդեն այն փաստը, որ  $\text{FeNbO}_4$ -ի հարք գոտիների պոտենցիալը լեզվագացված նմուշների համեմատ ավելի բացասական է, իսկ լուսազգայուն տիրույթը գրեթե մնում է նույնը, ինչ որ  $\text{Fe}_2\text{O}_3$ -ինն է, թույլ է տալիս հոսալ, որ այդ բաղադրության սինթեզման տեխնոլոգիայի օպտիմալացման և ավելի կատարյալ կառուցվածքով նմուշների ստացման դեպքում հնարավոր է հասնել ֆոտոէլեկտրոլիզի եղանակով արեգակնային էներգիայի փոխակերպման արդյունավետության զգալի բարձրացման։

**Կիսահաղործվածների և դիէլեկտրիկների  
ֆիզիկայի ամրիոն**

Ստուգվել է 07.02.2005

#### ԳՐԱԿԱՆՈՒԹՅՈՒՆ

1. Плесков Ю.В. – Электрохимия, 1981, т. 17, с. 3–31.
2. Aroutiounian V.M., Sarkisyan A.G., Arakelyan V.M. Water electrolysis by use of semiconductor oxide anodes. Proc. 7<sup>th</sup> Hydrogen Energy Conf., Moscow, 1988, p. 579–593.
3. Арутюнян В.М. Полупроводниковые фотоэлектроды для фотоэлектрохимического преобразования солнечной энергии. – В кн.: Фотокаталитическое преобразование солнечной энергии, ч. I. М.: Наука, 1985, с. 74–102.
4. Aroutiounian V.M., Arakelyan V.M., Shahnazaryan G.E., Stepanyan G.M., Turner J.A., Kaselev O. Investigations of ceramic photoelectrodes from  $\text{Fe}_2\text{O}_3$  doped with niobium. – 10<sup>th</sup> International ceramics congress. Florence, Italy, 2002, July 14–18, p. 425–434.
5. Арутюнян В.М., Аракелян В.М., Шахназарян Г.Е., Степанян Г.М., Тернер Дж.А., Хаселев О. – Электрохимия, 2002, т. 38, № 4, с. 428–434.

**В. М. АРАКЕЛЯН, В. Э. ГАЛСТЯН**

#### ПОЛУЧЕНИЕ И ИССЛЕДОВАНИЕ ЭЛЕКТРОФИЗИЧЕСКИХ И ФОТОЭЛЕКТРОХИМИЧЕСКИХ ТВЕРДЫХ РАСТВОРОВ $\text{Fe}_2\text{O}_3\text{-Nb}_2\text{O}_5$

#### Резюме

Эффективность преобразователей солнечной энергии методом фотогальванического разложения воды в основном обусловлена свойствами полупроводникового фотоанода, применяемого в них как фотокатализатор. Одним из наиболее перспективных путей оптимизации его параметров является применение новых трех- или четырехкомпонентных металло-оксидных полупроводниковых соединений. С этой целью в системе  $\text{Fe}_2\text{O}_3\text{-Nb}_2\text{O}_5$  синтезированы твердые растворы различных составов. Исследованы электрофизические и фотогальванические свойства полученных материалов.

электрохимические свойства полученных образцов. Показано, что фотоэлектроды, изготовленные на основе гомогенного твердого раствора  $\text{FeNbO}_4$ , обладают наиболее оптимальной совокупностью важных для эффективного фотоэлектролиза параметров.

V. M. ARAKELYAN, V. E. GALSTYAN

## SYNTHESIS OF SOLID COMPOUNDS OF $\text{Fe}_2\text{O}_3$ - $\text{Nb}_2$ AND INVESTIGATION OF THEIR ELECTROPHYSICAL AND PHOTOOELECTROCHEMICAL PROPERTIES

### Summary

The efficiency of the solar energy conversion by water photoelectrolysis method is mainly determined by the properties of the semiconductors photoanode which performs function of photocataliser. One of the perspective ways of optimization of these parameters is the usage of the new triple- and four-compound metal-oxide. For this purpose solid solutions of different compounds in  $\text{Fe}_2\text{O}_3$ - $\text{Nb}_2\text{O}_5$  system are synthesized. The electrophysical and electrochemical properties of the synthesized samples are studied. It is shown that the electrodes made on the base of homogeneous solid solution of  $\text{FeNbO}_4$  provide efficient photoelectrolysis process at the most optimal combination of important parameters.